

実験トランジスタ・アンプ設計講座

黒田 徹

●実用技術編

第10章 回路シミュレータ SPICE 入門 (32)

6C33Cで100Wアンプは可能か？

6C33Cは定電圧電源のレギュレータ管として開発された3極管で、ご存じのように、①大プレート損失 ②低内部抵抗 ③大プレート電流などの特長があります。このメリットを生かし、6C33CのOTLアンプがたくさん発表されています⁽¹⁾。

従来の6C33C・SEPP・OTLアンプは、電源供給電圧=±150Vにおいて、最大出力が40W(8Ω負荷)程度のもので多いようです。したがって、パラレルPPにすれば80W程度は得られるでしょう。ただし、B級に近いAB₁級動作でもすさまじい発熱でしょう。一方、発熱を抑えるためグリッド・バイアスを深くするとひずみ率が増加する、というトレードオフがあります。

(1) AB₂級動作にする

AB₂級パラレルPPにすれば、電源供給電圧を±100Vに下げても、容易に100Wが可能でしょう。

電源電圧を±100Vにすれば、グリッド・バイアスを浅く設定して無信号時プレート電流を増やしても、プレート損失を定格内に収めることができます。そして、ひずみ率を小

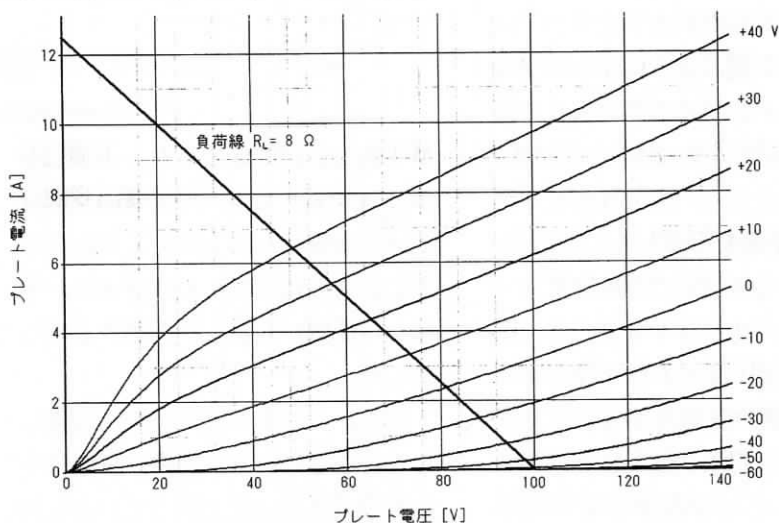
さくできるでしょう。

ほんとうに100Wが得られるか、確認してみましょう。話を簡単にするためB級SEPPを仮定し、出力特性図(第1図)に8Ωの負荷線を引きます。なお、この出力特性

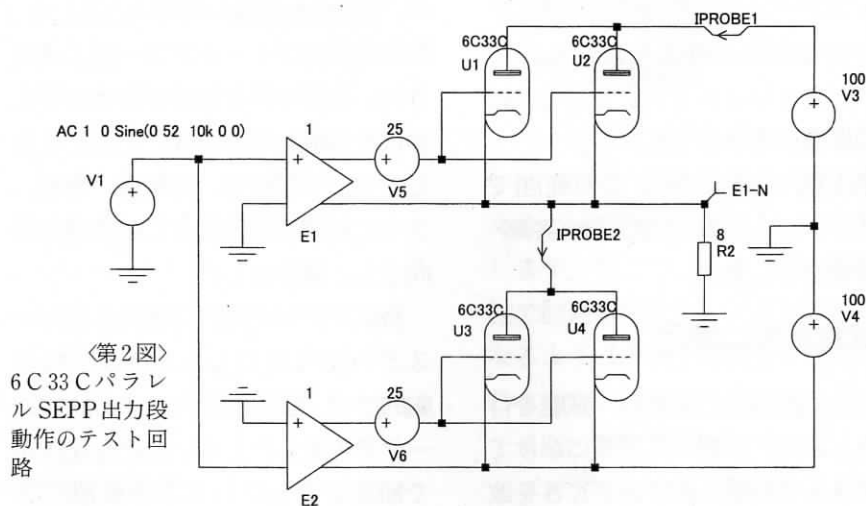
曲線はKoren氏の6C33Cモデル⁽²⁾を用いました。

第1図からすぐわかるように、グリッド電圧を+26Vまで振れば、プレート電圧 $V_P=60V$ 、プレート電流 $I_P=5A$ となります。出力 P_O は、

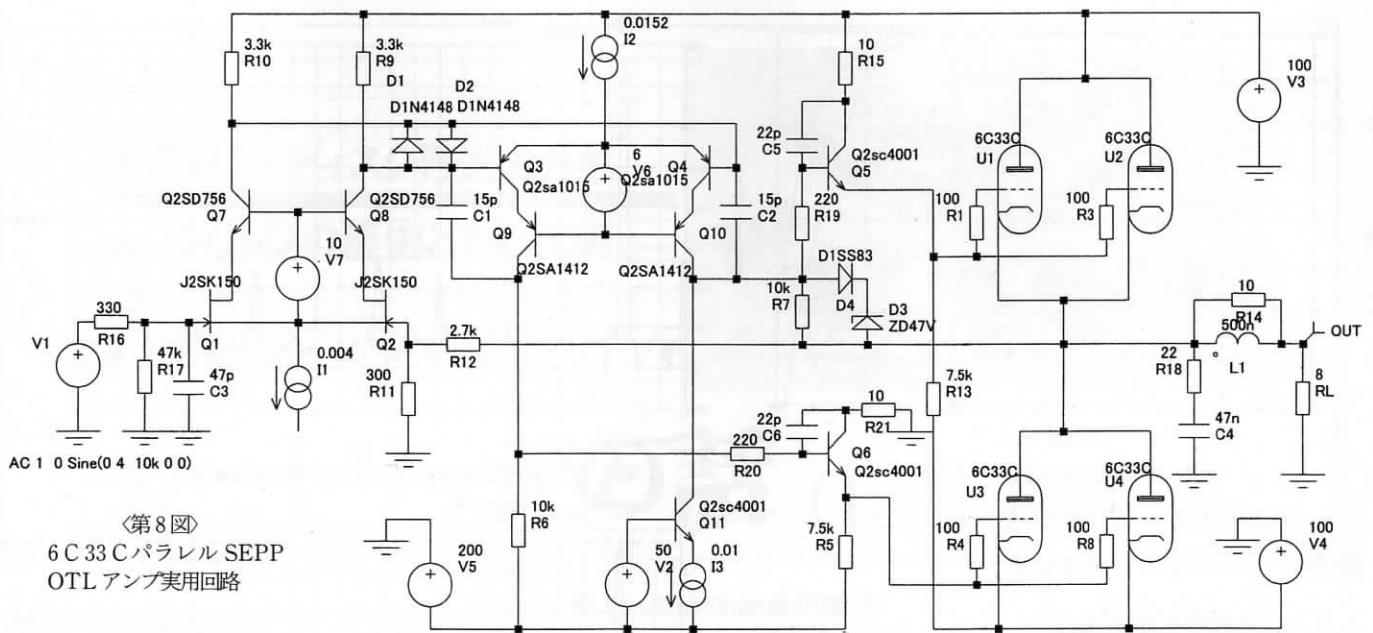
$$P_O = \frac{(V_{CC} - V_P)^2}{2R_L} = \frac{(100 - 60)^2}{2 \times 8}$$



〈第1図〉
6C33Cパラレル接続の E_b-I_b 特性 (Koren氏のモデルによる)



〈第2図〉
6C33CパラレルSEPP出力段動作のテスト回路



圧)は250V以上必要です。

6C33Cのグリッドに接続した直列抵抗は寄生振動を防ぎます。

$R_{22}(22\Omega) + C_4(0.047\mu F)$ 直列回路と $L_1(0.5\mu H) // R_{14}(10\Omega)$ 並列回路は、実際の動作状態において想定される(数100kHz以上の)負荷インピーダンスの暴れを抑えます。

(1) オープン・ループ・ゲイン

負帰還を安定におけるには高域のゲイン位相特性が重要です。

第8図の回路の高域(100kHz~10MHz)のオープン・ループ・ゲイン $|A_{open}|$ は、Q1の相互コンダクタンス $g_m=9mS$ と2段目の位相補償容量 $C=15pF$ のインピーダンスと出力段の電圧ゲイン A_3 によって、近似的に次式で与えられます。

$$|A_{open}| = \frac{g_m}{2} \left(\frac{1}{2\pi f C} \right) A_3$$

..... (10-90)

出力段の電圧ゲイン A_3 の算出は少々厄介ですが、計算してみましょう。100kHz以上では、2段目の位相補償容量15pFの局部電圧帰還によって、Q10の出力インピーダンスは R_7 より十分低くなります。

したがって、100kHz以上の周波数帯域ではブート・ストラップは機能せず、6C33C (U_1 と U_2)は定電圧ドライブされることになります。よって第9図の小信号等価回路が導かれます。図から明らかなように、上下の出力管は不平衡動作です。念のため申し添えますが、第9図は、オーディオ帯域信号には適用できま

せん。100kHz~10MHzの信号に適用できる等価回路です。

さて、第9図において、出力電圧を V_o 、ドライブ電圧を V_s とすると次式が成り立ちます。

$$i_{P1} = \frac{\mu(V_s - V_o) - V_o}{r_P}$$

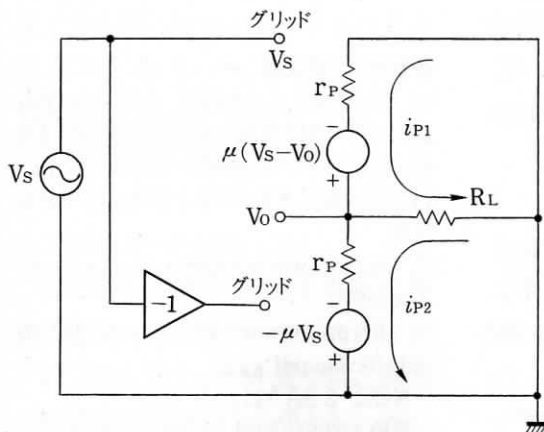
..... (10-91)

$$i_{P2} = \frac{V_o - \mu V_s}{r_P} \quad \text{..... (10-92)}$$

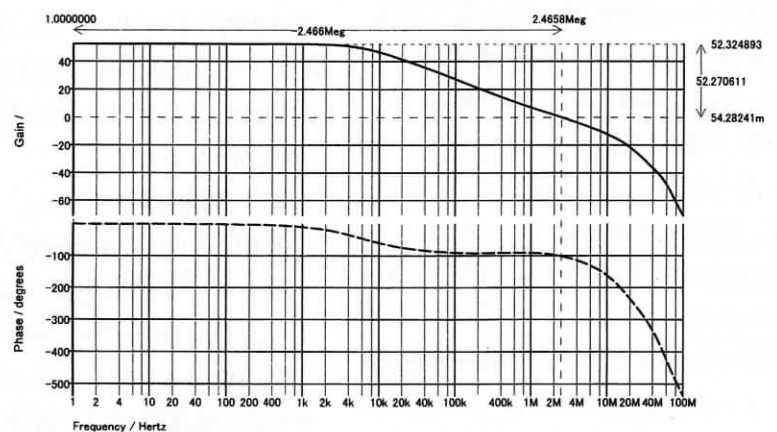
$$V_o = (i_{P1} - i_{P2})R_L \quad \text{..... (10-93)}$$

(i_{P1} : 上側6C33C(2本合計)のプレート電流の増分
 i_{P2} : 下側6C33C(2本合計)のプレート電流の増分
 r_P : 6C33Cの平行接続内部抵抗
 μ : 6C33Cの増幅率)

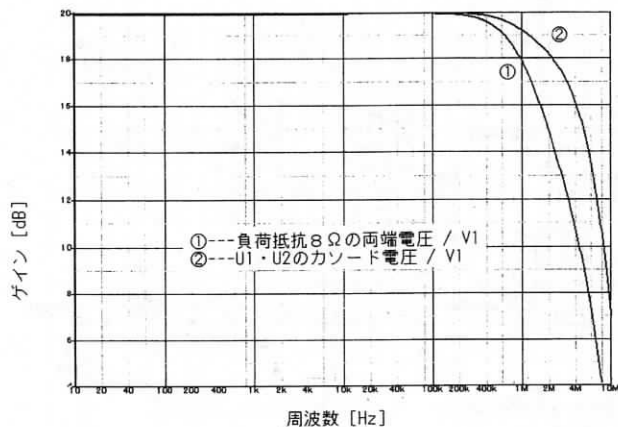
(10-91) (10-92) (10-93)式から i_{P1}



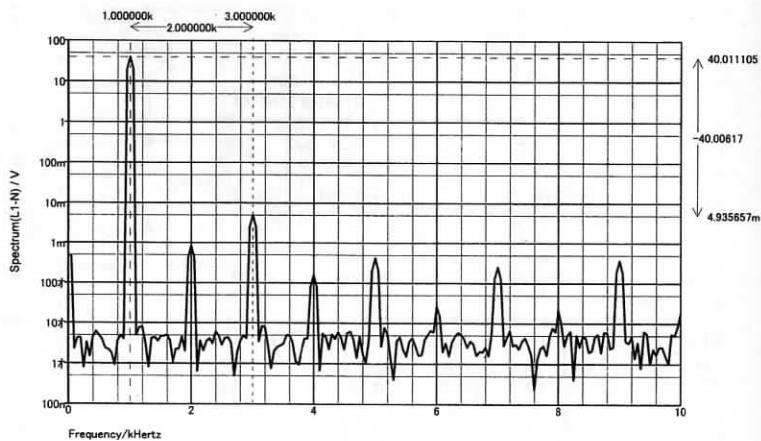
〈第9図〉 第8図アンプ出力段の高域等価回路



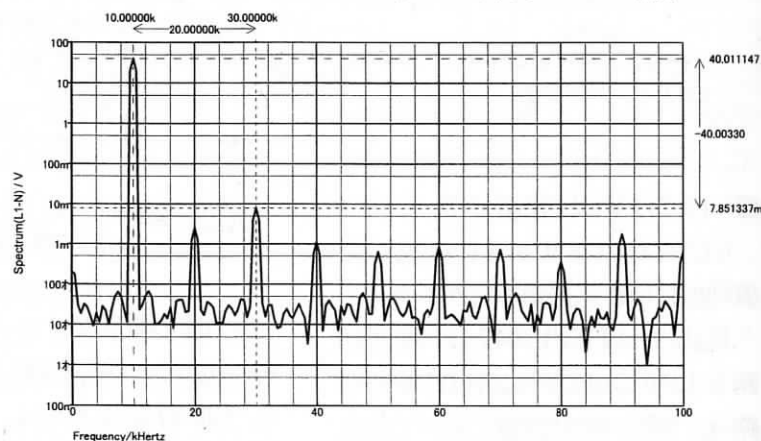
〈第10図〉 第8図アンプのオープン・ループ・ゲインのボード線図



〈第 11 図〉 第 8 図の回路の周波数特性



〈第 12 図〉 第 8 図の回路の 1 kHz/100 W 出力時のフーリエ解析



〈第 13 図〉
同じく 10 kHz/
100 W 出力時の
フーリエ解析

と i_{P2} を消去すると、出力段の電圧利得 A_3 がつぎのように求まります。

$$A_3 = \frac{v_o}{v_s} = \frac{2\mu R_L}{r_p + (2 + \mu)R_L}$$

プレート電圧 = 100 V、グリッド電圧 = 25 V における増幅率と内部抵抗 (2 本並列) を $\mu = 2.5$, $r_p = 40\Omega$ と見積もると、

$$A_3 = \frac{2 \times 2.5 \times 8}{40 + (2 + 2.5) \times 8} = 0.53$$

と算出されます。例として 1 MHz のオープン・ループ・ゲインを計算してみましょう。(10-90)式から、

$$|A_{open}| = \frac{9 \times 10^{-3}}{2} \times \left(\frac{0.53}{6.28 \times 10^6 \times 15 \times 10^{-12}} \right) = 25.3 \text{ [倍]}$$

dB で表わすと、28 dB です。

(2) ループ・ゲイン

第 8 図の回路の帰還率 β は、

$$\beta = \frac{R_{11}}{R_{11} + R_{12}} = \frac{300}{300 + 2700} = 0.1$$

ですから、高域のループ・ゲインは (10-90) 式の 1/10 になります。したがって、1 MHz のループ・ゲインは 8 dB と算出されます。ループ・ゲインが -6 dB/oct で減衰するならば、利得交点周波数 (ループ・ゲインが 1 倍になる周波数) は 2.5 MHz になります。

(3) ループ・ゲインのボーデ線図

ボーデ線図をシミュレーションしましょう。Koren 氏の 6C33C デ

バイス・モデルは、電極間容量 $C_{gk} = 2.3\text{pF}$, $C_{GP} = 2.2\text{pF}$, $C_{PK} = 1.0\text{pF}$ と見積もっていますが、少なすぎるようです。これらの電極間容量をつぎのように修正しました⁽³⁾。

$$C_{gk} = 30\text{pF}, C_{GP} = 31\text{pF}, C_{PK} = 10\text{pF}$$

修正デバイス・モデルを用いてシミュレーションし、第 8 図の回路のループ・ゲインのボーデ線図を第 10 図に示します。ループ・ゲインは 1 kHz で 52.3 dB、20 kHz で約 40 dB です。ループ・ゲインが 1 倍 = 0 dB になる周波数は 2.47 MHz で、位相は約 -100° です。つまり 80° の位相余裕があります。

(4) 周波数特性

第 8 図の回路の周波数特性のシミュレーション結果を第 11 図に示します。1 kHz のゲインは 19.9 dB です。出力段中点 ($U_1 \cdot U_2$ のカソード) までの周波数特性は、純半導体アンプより広帯域で、-3 dB カットオ

フ周波数は 3.2 MHz です。

(5) ひずみ率特性

1 kHz/100 W ($R_L = 8\Omega$) における出力電圧のフーリエ解析結果を第 12 図に示します。第 3 調波ひずみ率は 0.012% です。

10 kHz/100 W ($R_L = 8\Omega$) における出力電圧のフーリエ解析結果を第 13 図に示します。第 3 調波ひずみ率は 0.020% です。1 kHz のひずみ率に比べ、5 dB 程度の悪化に留まっています。

◆参考・引用文献

- (1) 武末数馬「ラジオ技術」1977 年 1 月号、金田明彦「MJ 無線と実験」1995 年 12 月号、山崎浩「ラジオ技術」2003 年 9、10、11 月号、藤井秀夫「ラジオ技術」2004 年 5 月号。
 - (2) <http://www.normankoren.com/Audio/>
 - (3) <http://www.tkhifi.com/datablade/6c33c.pdf>
- ・ NEC, 2 SA 1412 データシート
 - ・ NEC, 2 SC 4001 データシート
 - ・ ラジオ技術 2003 年 9 月号 p. 28 第 1 図。